

Fig. 1

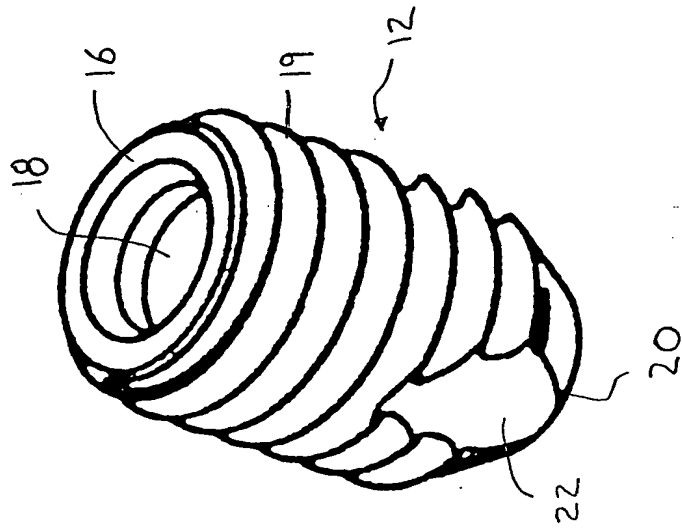
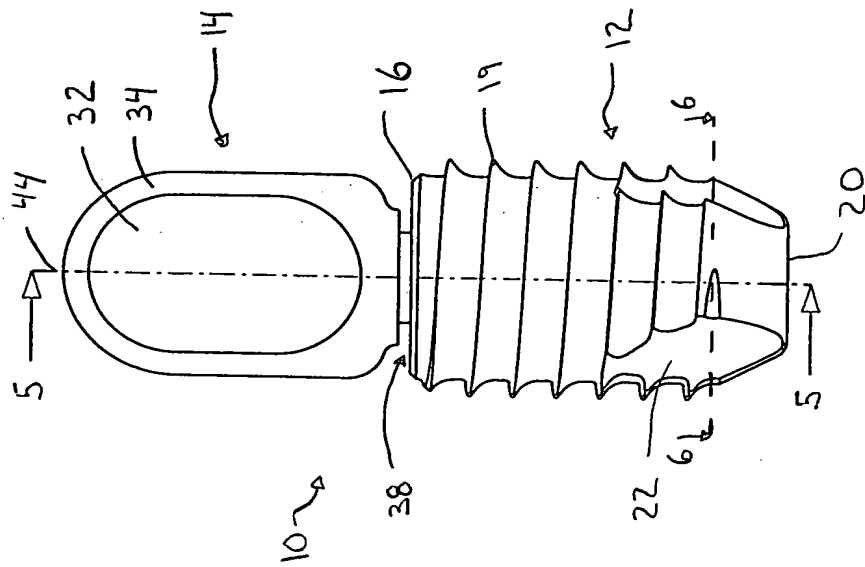
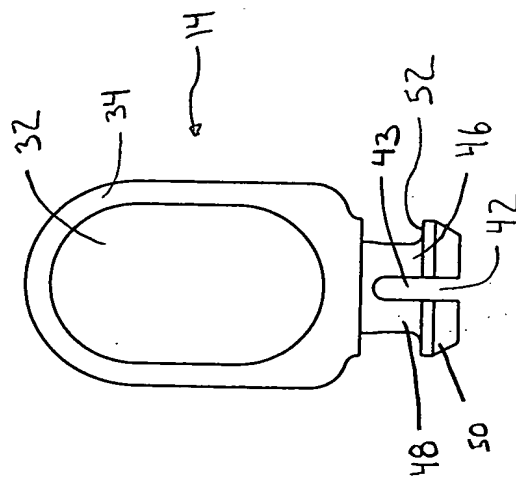
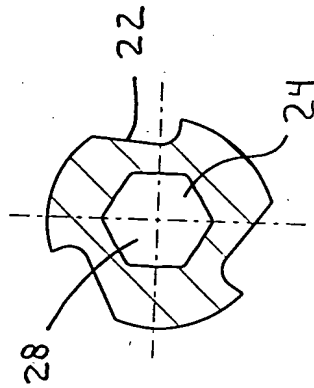
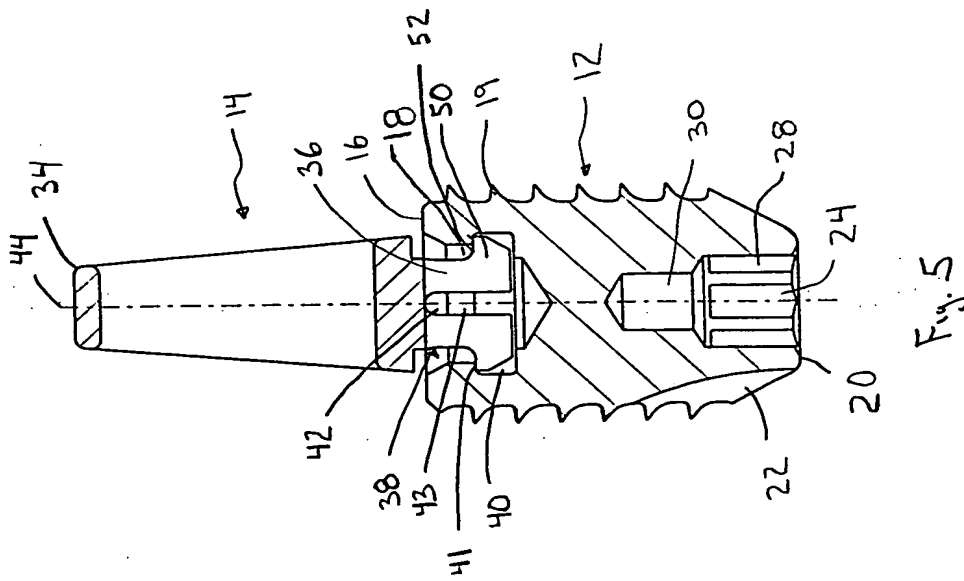
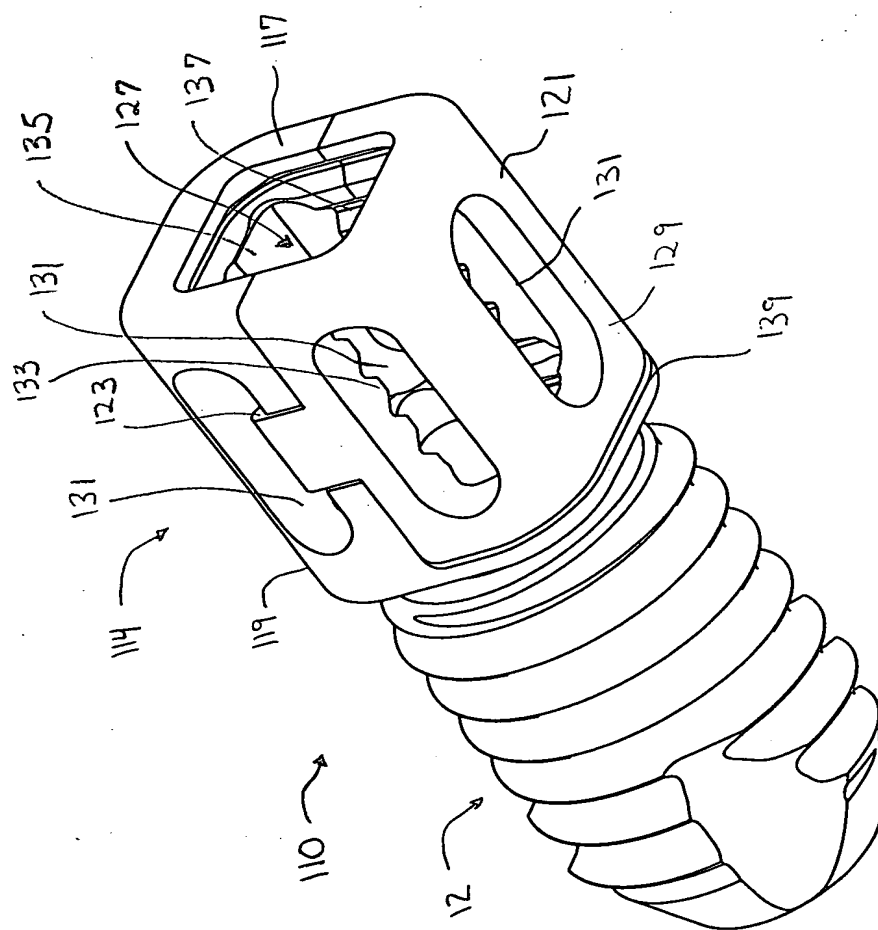


Fig. 2







7
F. 10.1

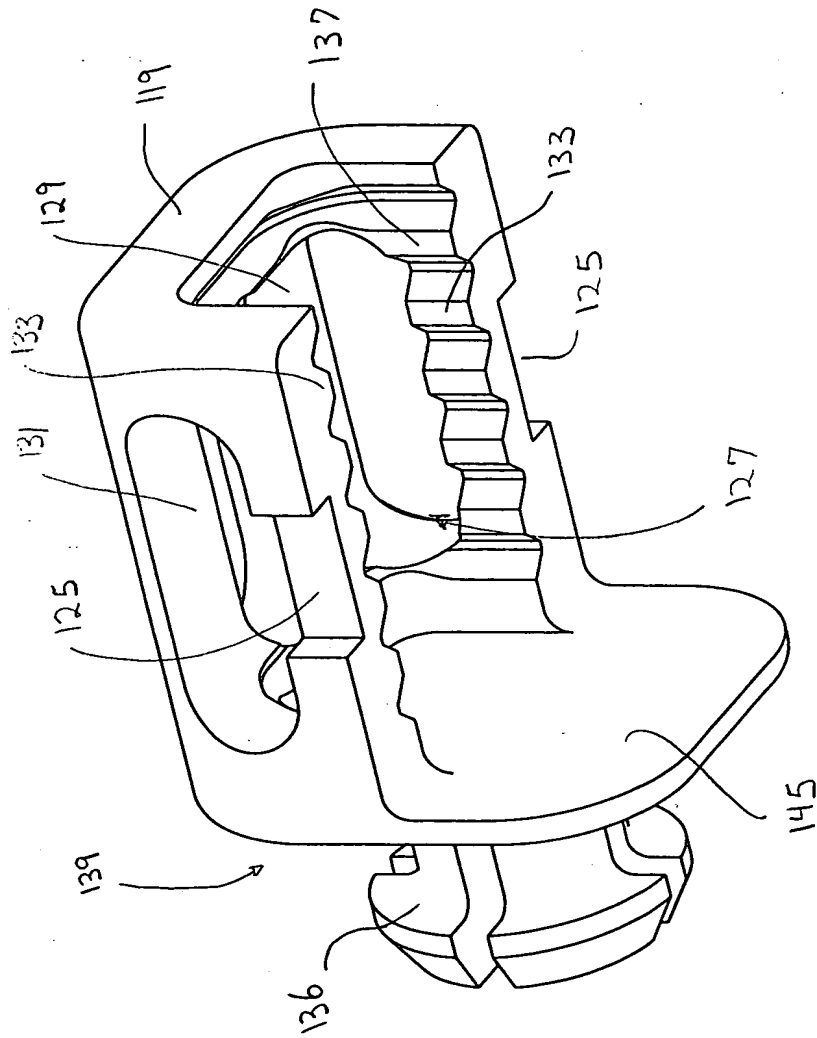


Fig. 8

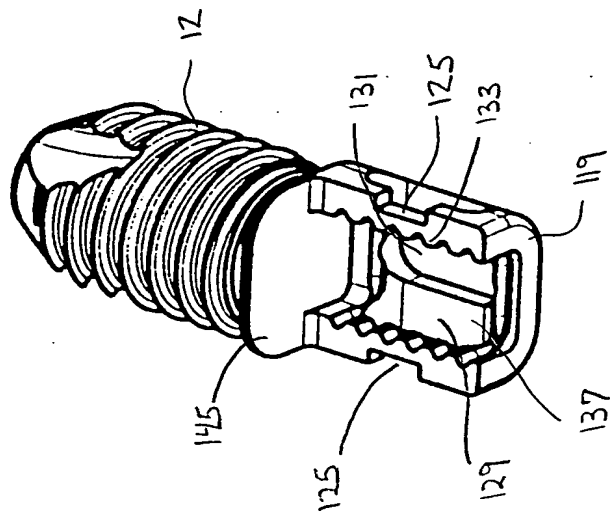


Fig. 10

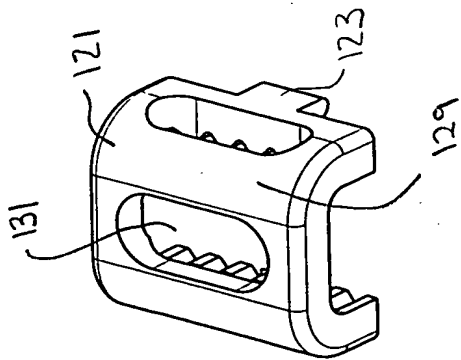


Fig. 9

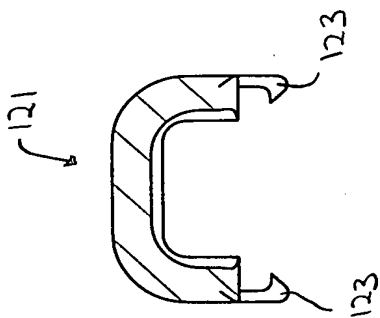


Fig. 11

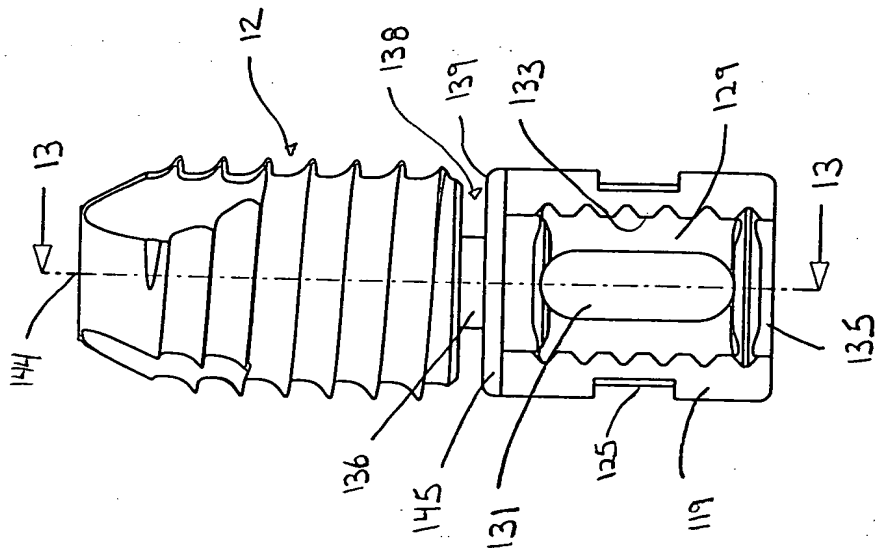


Fig. 12

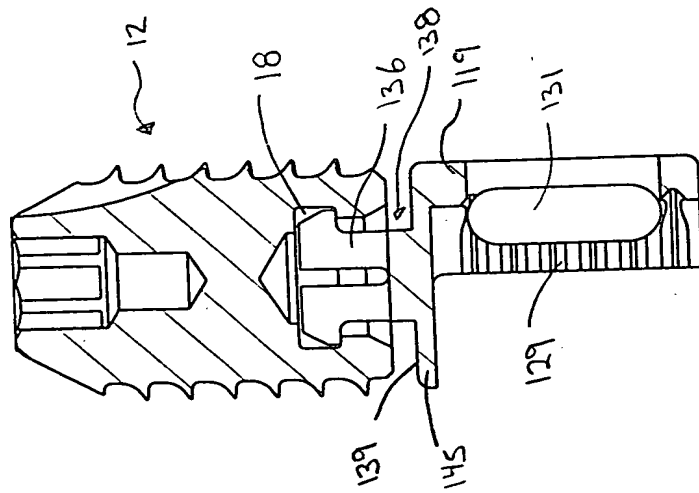


Fig. 13

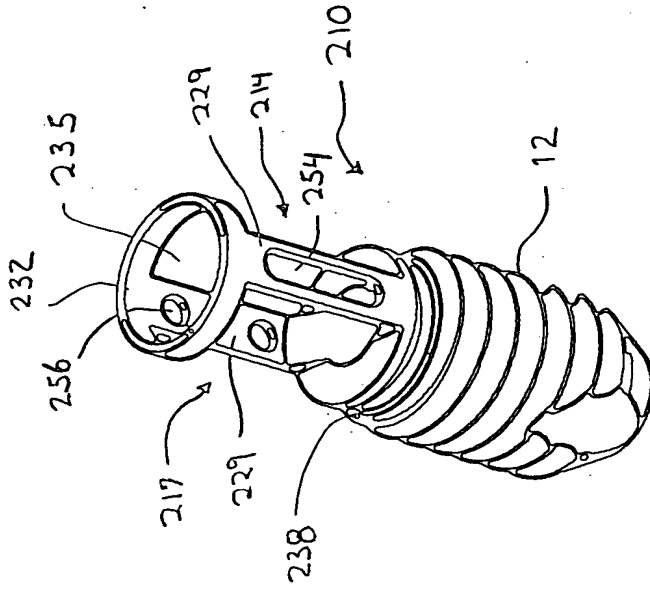


Fig. 14

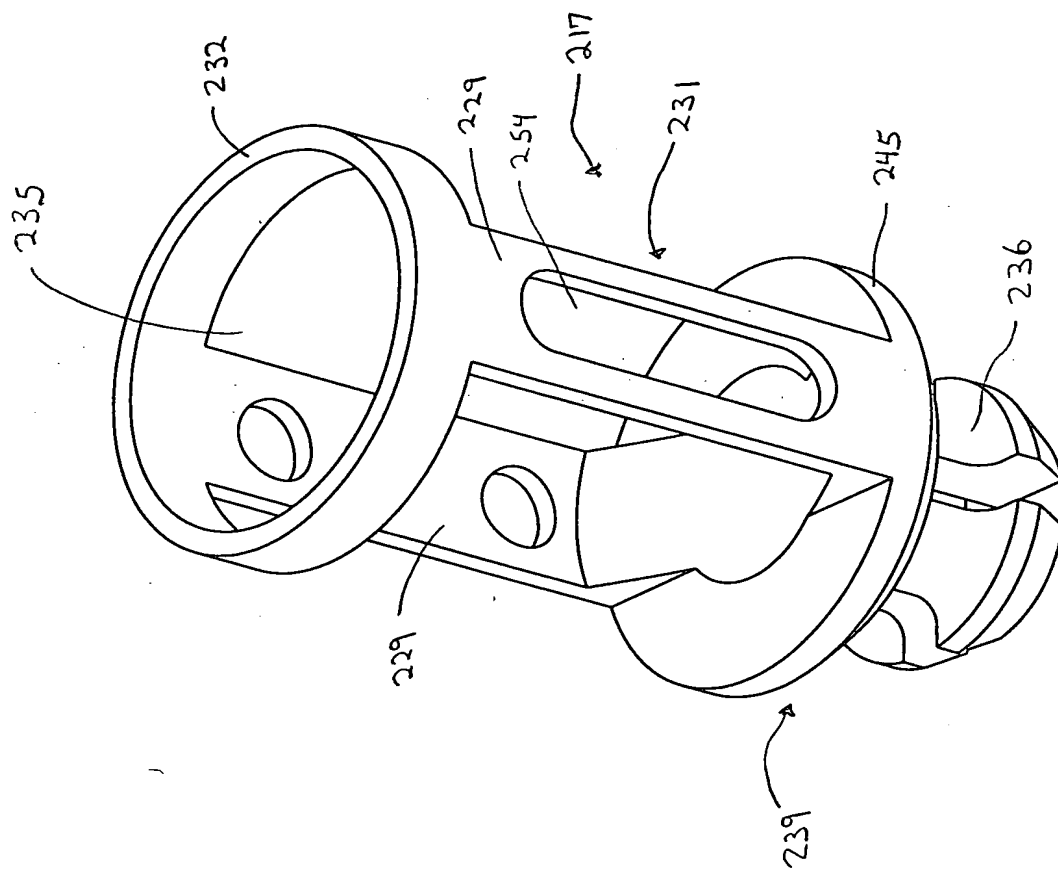
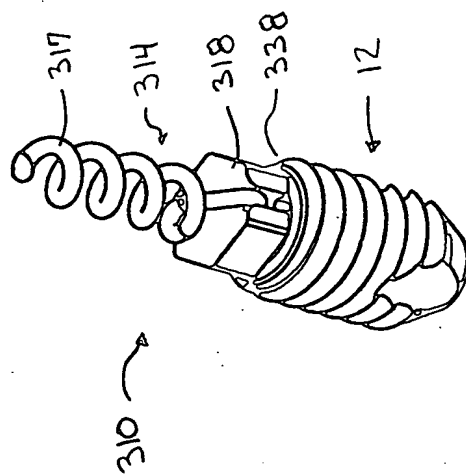
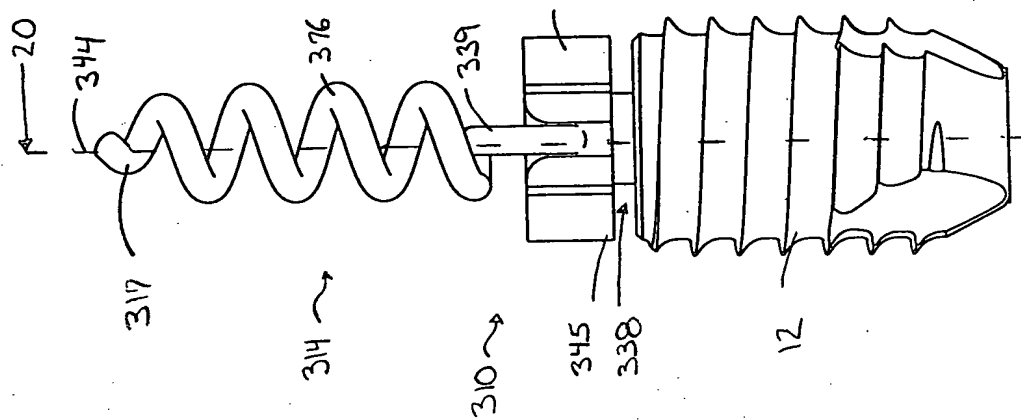


Fig. 17



18
F. 5.



19
F. 19

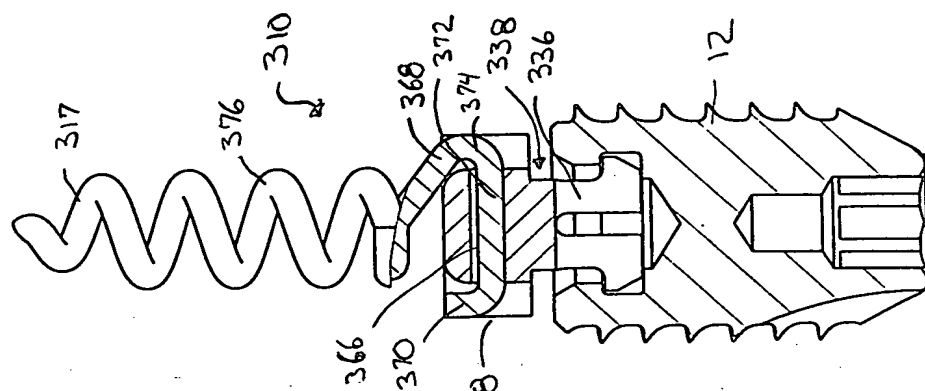
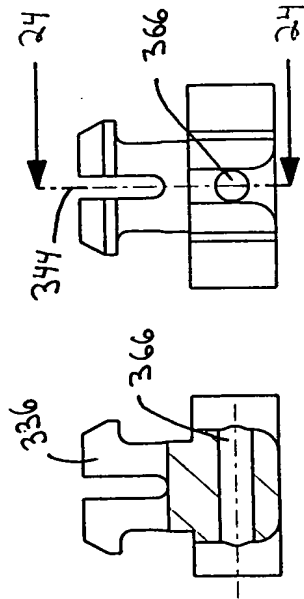
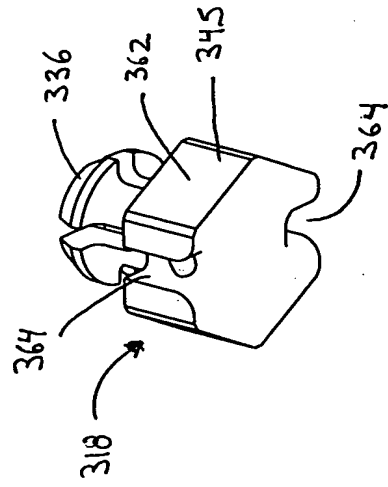
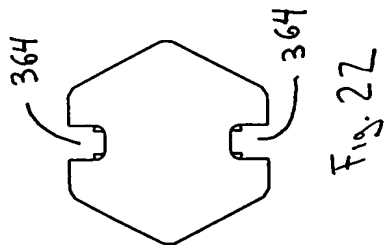


Fig. 20



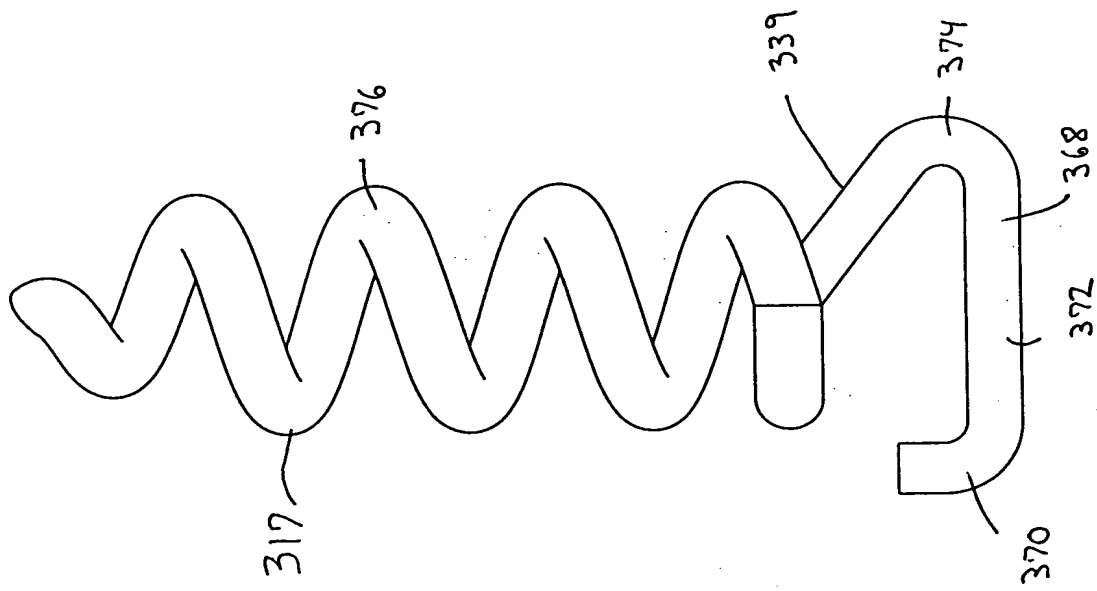


Fig. 25

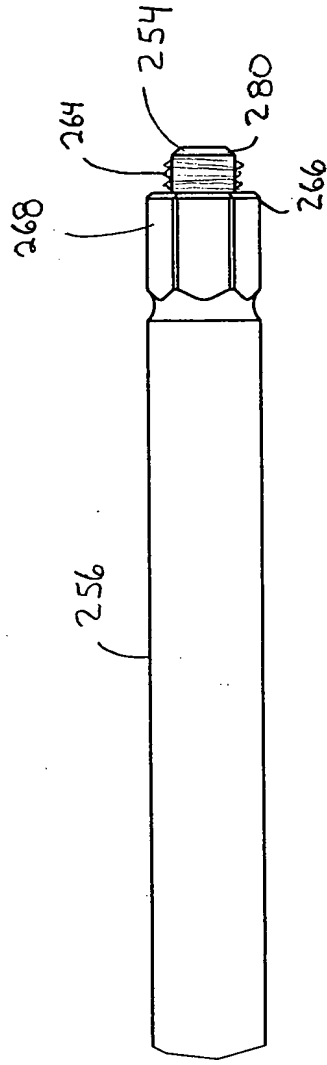


Fig. 29

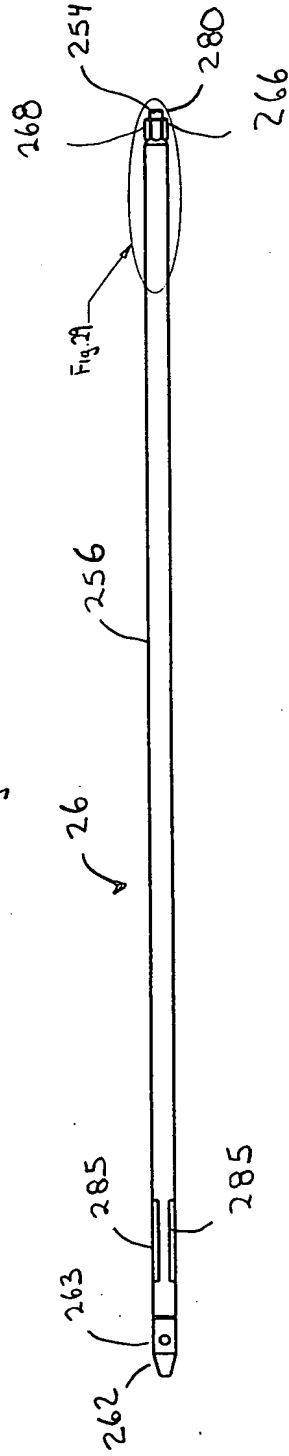


Fig. 26

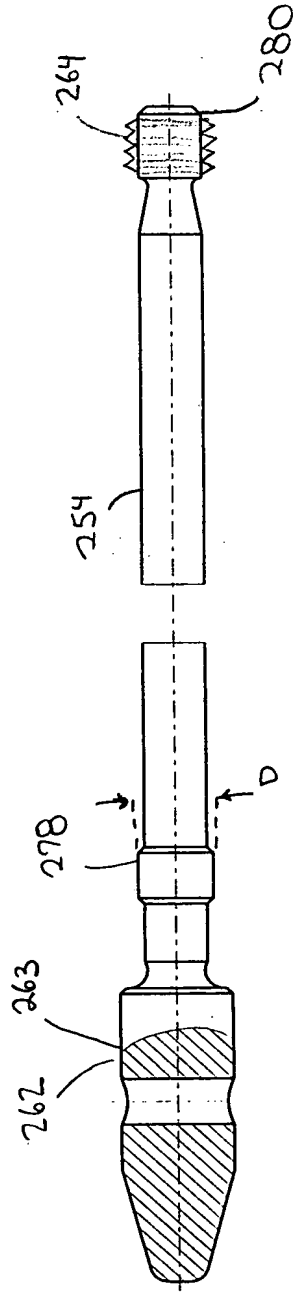


Fig. 27

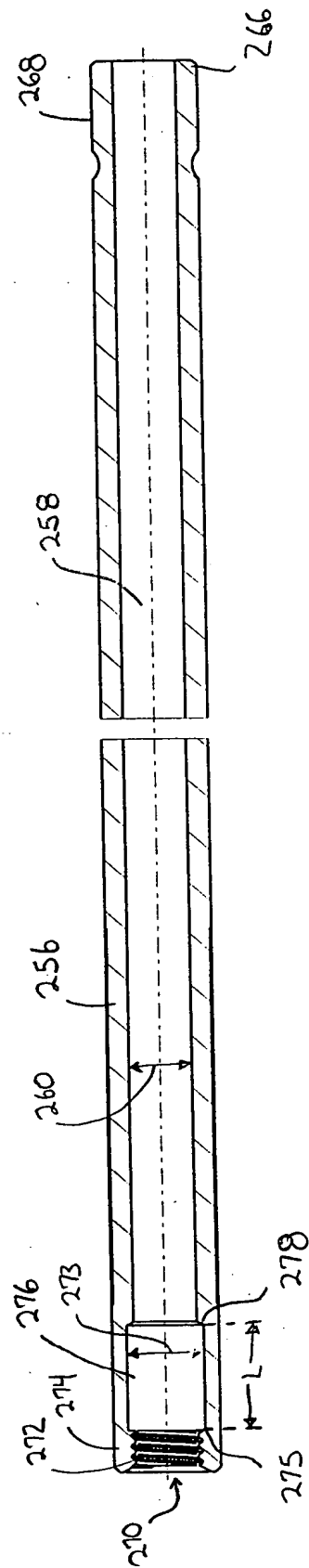


Fig. 28

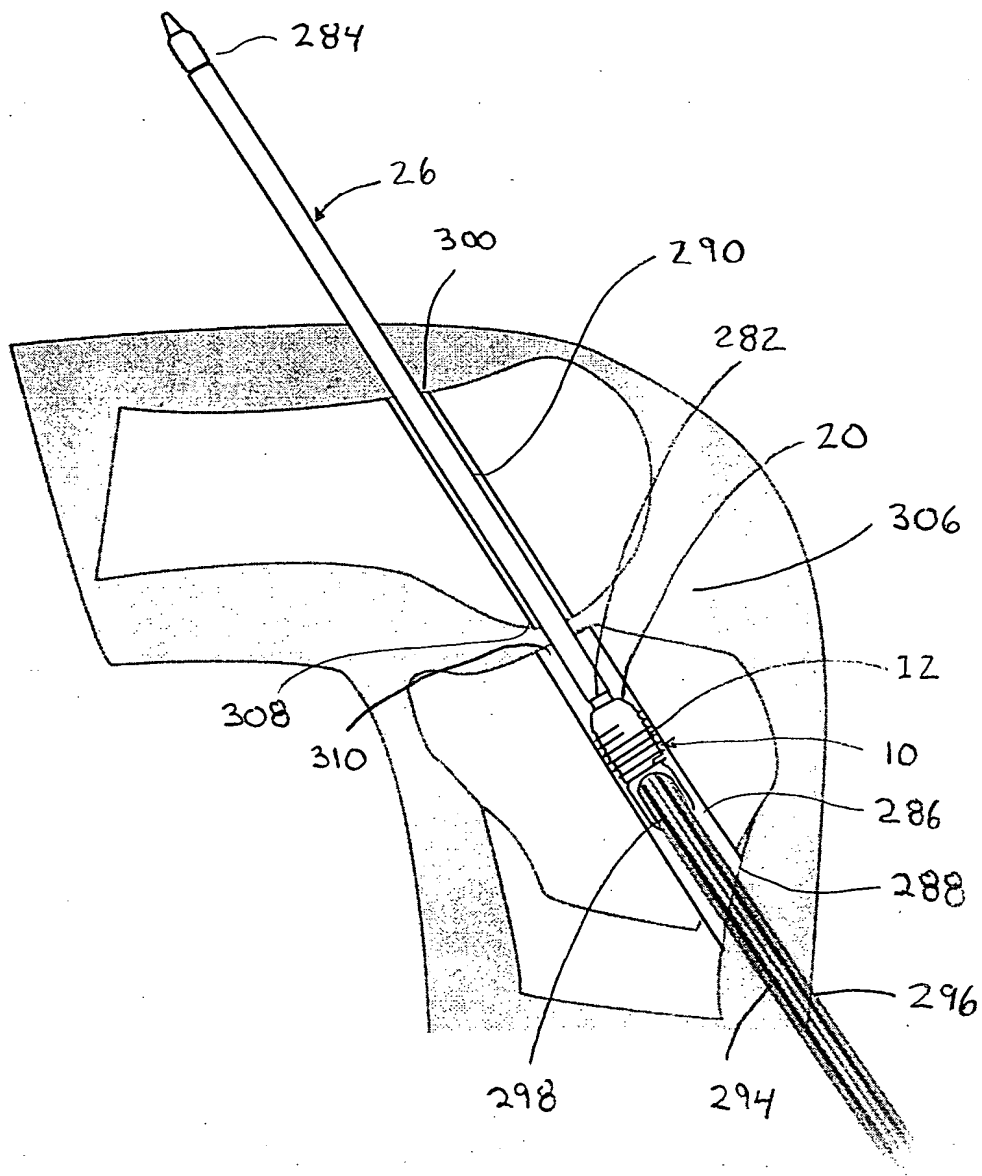


Fig. 31

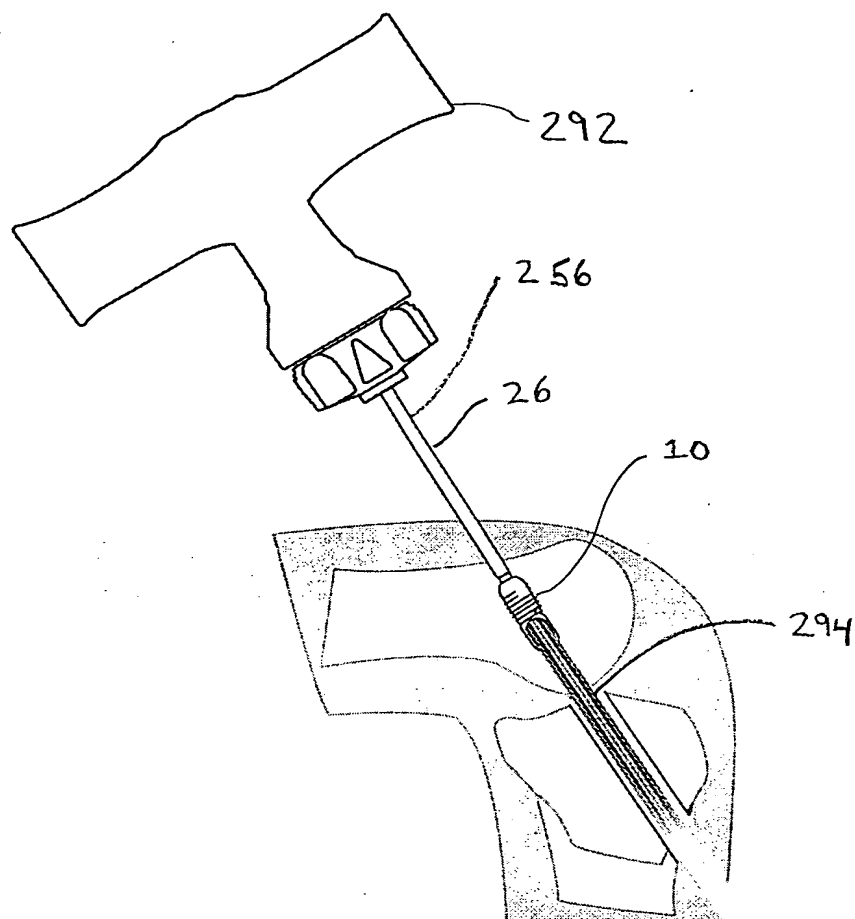


Fig. 32